

I-96 無梁板構造の影響面解法

九州大学工学部 石原 山崎徳也
九州大学工学部 石原 ○携木武

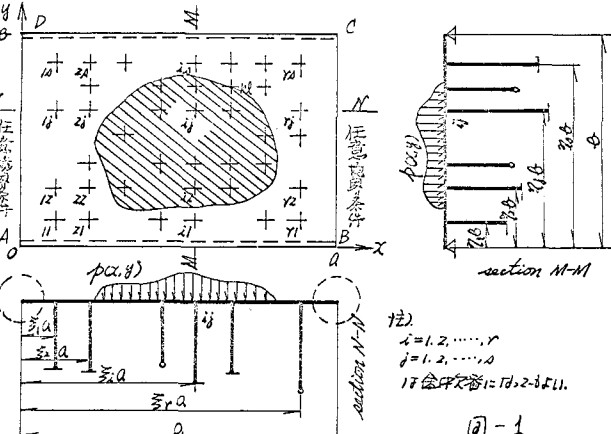
1. 諸言 R.E.Wooding¹⁾は9ハニカル無梁板構造を差分法を用いて解析のうえ、板上の各点における曲げモーメントを算出し、その結果を図示することにより影響面を求めるのが、これに倣い、著者らは固定支承支持された中间にみる任意配列の支承で支えられる二点無梁板構造に関する、板および柱の各種断面諸量に関する影響面の厳密式を説明し、無梁板構造の本格的影響面解法を論じたが、このことは広範囲の無梁板構造に対して、複数集中荷重が作用する場合は勿論のこと、各種直角柱が作用する場合の解析も設計計算に直接寄与するものである。しかしながら、無梁板構造が中间にみる支承で支えられるものと仮定したときは、柱で支持される実際の構造に対する厳密解を求めるのが不可能で、この意味で本法と呼ぶべき近似解法であるといえる。さて、本研究では、前論文を拡張応用し、柱の曲げ剛性を考慮してより厳密な無梁板構造の影響面解法を提案せんとするのである。

2. 基本直立方程式および板の弹性曲面

(2)-1: 木丁字とく、1列刃が単純支持され、他の刃が任意境界条件を有するとときには、中间に2点支承配列の柱で支持される無梁板構造における、各柱に生ずる垂直反力を M_{ij}^y, M_{ij}^z とすれば、これら荷重を求める基本直立方程式は、著者らが提案した基本柔法により次の二式とよびらる。

d_{ij} : 柱 i,j 頭部の垂直変位、

θ_{ij} : 柱 i,j 頭部の x 方向回転角、



$$\left\{ \begin{array}{l} (H_{ij}^{yy}) \quad (H_{ij}^{zz}) \\ (O_{ij}^{yy}) \quad (O_{ij}^{zz}) \\ (Q_{ij}^{yy}) \quad (Q_{ij}^{zz}) \end{array} \right\} \cdot \mathbf{X} = \frac{\partial b}{\partial z} \left\{ \begin{array}{l} (L_{ij} - \frac{\partial D}{\partial z} d_{ij}) \\ (L_{ij}^x - \frac{\partial D}{\partial z} \theta_{ij}) \\ (L_{ij}^y - \frac{\partial D}{\partial z} \theta_{ij}) \end{array} \right\} \quad (1) \quad \begin{array}{l} \frac{\partial D}{\partial z} M_{ij}^y = -\frac{1}{a} M_{ij}^x \frac{1}{b} M_{ij}^y \\ \frac{1}{b} M_{ij}^y = -\frac{1}{a} M_{ij}^x \frac{1}{b} M_{ij}^y \end{array} \dots$$

$$i=1, 2, \dots, r \quad j=1, 2, \dots, s$$

17 余分方程式: D_{12}, D_{23}, D_{31}

$H_{ij}^{yy} \sim Q_{ij}^{yy}$: 無梁板構造; すなはち柱の位置や板の刃長比により定まる形状定数、 $\beta = x/a, \gamma = y/b$

$$L_{ij} = \frac{\beta}{\sin \beta} (f_{mn}(\beta_i) + f_{mn}(\beta_j) + \sin m\pi \beta_i + \sin n\pi \gamma_j), \quad L_{ij}^x = \frac{\beta}{\sin \beta} (f_{mn}'(\beta_i) + f_{mn}'(\beta_j) + m\pi \cos m\pi \beta_i + n\pi \cos n\pi \gamma_j),$$

$$L_{ij}^y = \frac{\beta}{\sin \beta} (f_{mn}(\beta_i) + f_{mn}(\beta_j) + \sin m\pi \beta_i + m\pi \cos m\pi \beta_i), \quad f_{mn} = \int_0^1 \int_0^1 p(\beta, \gamma) \sin m\pi \beta \sin n\pi \gamma d\beta d\gamma,$$

$$K_{mn} = \int (m\pi)^2 + (n\pi)^2 \int_0^1 \int_0^1 p(\beta, \gamma)^2 d\beta d\gamma.$$

既往のたけ周式から及ぼすモーメント M_{ij}^y, M_{ij}^z と d_{ij}, θ_{ij} との関係を算定のうえ式(1)に代入すれば、直立方程式の数と未知数の数が一致し、したがって、このより柱の諸子静定反力を求めるには $m=1, 2, \dots, r$

1) この結果を用いて(1)-(4)：木下無深板構造における板の弹性曲面がえらむ、次式のことをみる。

$$w = \sum_{m=1}^{\infty} \sum_{n=1}^{\infty} G_{mn} f_{mn}(\xi) + \sin m\pi\xi \sin n\pi\eta \quad (2) \quad G_{mn} = (\frac{D}{\pi})^{1/4} \frac{T_{mn}}{K_{mn}}$$

$$T_{mn} = f_{mn} - \frac{4}{ab} \sum_{k=1}^{\infty} \sum_{l=1}^{\infty} \left(\Gamma_{kl} \Gamma_{kl}(m,n) \sin m\pi\xi_k \sin n\pi\eta_l - \frac{1}{4} N_{kl} P_{kl}^2(m,n) \cos m\pi\xi_k \sin n\pi\eta_l - \frac{1}{b} N_{kl}^2 P_{kl}^2(m,n) \sin m\pi\xi_k \cos n\pi\eta_l \right),$$

$$\Gamma_{kl}(m,n) = \frac{1}{\pi^2 ab \sin mn} \sin m\pi\xi_k \sin n\pi\eta_l, \quad \Gamma_{kl}^2(m,n) = \frac{3}{\pi^2 ab \sin mn} \left(\frac{\sin mn}{m\pi\xi_k} - \cos mn \right) \sin n\pi\eta_l,$$

$$P_{kl}^2(m,n) = \frac{3}{\pi^2 ab \sin mn} \left(\frac{\sin mn}{m\pi\xi_k} - \cos mn \right) \sin m\pi\xi_k, \quad 2\pi ab \times 2\pi ab : \text{柱 } k \text{ および } l \text{ の時間 (矩形).}$$

3. 影響面解法 (1) 柱の垂直反力をもつて反力モーメント：板上の任意点 (\bar{x}, \bar{y}) における集中荷重 P が作用するものとすり、その影響法フーリエ級数展開式によつて展開係数は次のとくである。

$$f_{mn} = \frac{4}{ab} \sin m\pi\xi \sin n\pi\eta \quad (3) \quad \text{すなはち、各時間帯の垂直度 (2) から } f_{mn} \text{ のとおり } \int_0^T d_{ij} = 0 \text{ である。}$$

2) すなはち、柱頭部に作用する反力モーメント M_{ij}^x, M_{ij}^y と、その回転角 $\theta_{ij}^x, \theta_{ij}^y$ との関係がたしかめ式より次式となるからある。 $\theta_{ij}^{(x,y)} = -\tilde{f}_{ij}^{(x,y)} \cdot M_{ij}^{(x,y)}$ (4)

以上の諸式を式(1)に代入すれば、本題の無深板構造の基本連立方程式がえらむ、次式の内容とする。

$$D \cdot X = \frac{ab}{4} L \quad (5) \quad \text{ここで、係数行列 } D \text{ は式(4)右辺の } \theta_{ij}^{(x,y)} \text{ と式(4)左辺の } L_{ij} \text{ に由来する。} \quad (5)$$

$$L_{ij} = L_{11} L_{12} \cdots L_{1j} \cdots L_{21} L_{22} \cdots L_{2j} \cdots L_{j1} L_{j2} \cdots L_{jj} \cdots L_{r1} L_{r2} \cdots L_{rr} \|^T, \quad (5)$$

$$L_{ij}^x = \frac{1}{K_{mn}} \frac{1}{ab} \sin m\pi\xi \sin n\pi\eta \{ f_{mn}(\xi_i) + \sin m\pi\xi_i \} \sin n\pi\eta_j, \quad L_{ij}^y = \frac{1}{K_{mn}} \frac{1}{ab} \sin m\pi\xi \sin n\pi\eta \{ f'_{mn}(\xi_i) + m\pi \cos m\pi\xi_i \} \sin n\pi\eta_j.$$

$$L_{ij}^y = \frac{1}{K_{mn}} \frac{1}{ab} \sin m\pi\xi \sin n\pi\eta \{ f_{mn}(\xi_i) + \sin m\pi\xi_i \} \eta \pi \cos n\pi\eta_j.$$

係数行列 D から K 行および I 列を取り除いたりして m 行列を D_{KI} とすり、式(5)の連立方程式の解が終局的に次式となると規定され。

$$V_{ij} = \frac{1}{D} \sum_{m=1}^{\infty} \sum_{n=1}^{\infty} \sum_{k=1}^{\infty} \sum_{l=1}^{\infty} [(-1)^{K+I} D_{K+2m+I} \{ f_{mn}(\xi_k) + \sin m\pi\xi_k \} \sin n\pi\eta_l + (-1)^{K+I+1} D_{(K+2m+I)+2} \{ f'_{mn}(\xi_k) + m\pi \cos m\pi\xi_k \} \sin n\pi\eta_l \\ + (-1)^{K+2m+I} D_{(K+2m+I)+2} \{ f_{mn}(\xi_k) + \sin m\pi\xi_k \} n\pi \cos n\pi\eta_l] \frac{1}{K_{mn}} \sin m\pi\xi \sin n\pi\eta \quad (6)$$

$$M_{ij}^x = -\frac{a}{D} \sum_{m=1}^{\infty} \sum_{n=1}^{\infty} \sum_{k=1}^{\infty} \sum_{l=1}^{\infty} [(-1)^{K+I+2m} D_{K+2m+I} \{ f_{mn}(\xi_k) + \sin m\pi\xi_k \} \sin n\pi\eta_l + (-1)^{K+I+2m+1} D_{(K+2m+I)+2} \{ f'_{mn}(\xi_k) + m\pi \cos m\pi\xi_k \} \sin n\pi\eta_l \\ + (-1)^{K+2m+I+2} D_{(K+2m+I)+2} \{ f_{mn}(\xi_k) + \sin m\pi\xi_k \} n\pi \cos n\pi\eta_l] \frac{1}{K_{mn}} \sin m\pi\xi \sin n\pi\eta \quad (7)$$

$$M_{ij}^y = -\frac{a}{D} \sum_{m=1}^{\infty} \sum_{n=1}^{\infty} \sum_{k=1}^{\infty} \sum_{l=1}^{\infty} [(-1)^{K+I+2m} D_{K+2m+I} \{ f_{mn}(\xi_k) + \sin m\pi\xi_k \} \sin n\pi\eta_l + (-1)^{K+I+2m+1} D_{(K+2m+I)+2} \{ f'_{mn}(\xi_k) + m\pi \cos m\pi\xi_k \} \sin n\pi\eta_l \\ + (-1)^{K+2m+I+2} D_{(K+2m+I)+2} \{ f_{mn}(\xi_k) + \sin m\pi\xi_k \} n\pi \cos n\pi\eta_l] \frac{1}{K_{mn}} \sin m\pi\xi \sin n\pi\eta \quad (8)$$

$$2) \text{ すなはち, } D = \det D, \quad D_{KI} = \det D_{KI}, \quad K = (k-1)a+l, \quad I = (I-1)a+j$$

単位集中荷重 $P=1$ を移動荷重と考へると、式(6)～(8)は柱の垂直反力 V_{ij} 、反力モーメント M_{ij}^x, M_{ij}^y の影響面を表わすこととなる。

3) たしかめの影響面：式(3)および式(6)～(8)を式(2)に代入すれば、任意点 (\bar{x}, \bar{y}) における集中荷重 $P=1$ が作用する場合の無深板の弹性曲面がえらむ、かゝる式には集中荷重の座標値 $\xi = \xi_g, \eta = \eta_g$ を代入すれば、本題の無深板構造によつて板上の点 (\bar{x}, \bar{y}) の影響面式 $w_g(\xi_g, \eta_g)$ が求めらるることはより。結果のみ示す。(次式の $a = 1$ とする。)

$$w_g = \frac{4a^2}{D} \sum_{m=1}^{\infty} \sum_{n=1}^{\infty} \left[\{ f_{mn}(\xi_g) + \sin m\pi\xi_g \} \sin n\pi\eta_g - A(m,n,g) \right] \frac{1}{K_{mn}} \sin m\pi\xi \sin n\pi\eta \quad (9)$$

$$3) \text{ すなはち, } f_{mn}(m,n,k,l) = \{ f_{mn}(\xi_k) + \sin m\pi\xi_k \} \sin n\pi\eta_l, \quad f'_2(m,n,k,l) = \{ f'_{mn}(\xi_k) + m\pi \cos m\pi\xi_k \} \sin n\pi\eta_l$$

$$f_2(m,n,k,l) = \{ f_{mn}(\xi_k) + \sin m\pi\xi_k \} n\pi \cos n\pi\eta_l, \quad T(m,n) = \sum_{k=1}^{\infty} \sum_{l=1}^{\infty} [(-1)^{K+I} D_{K+2m+I} f_1(m,n,k,l) + (-1)^{K+I+1} D_{(K+2m+I)+2} f_1(m,n,k,l) \\ + (-1)^{K+2m+I} D_{(K+2m+I)+2} f_1(m,n,k,l)], \quad T_x(m,n) = \sum_{k=1}^{\infty} \sum_{l=1}^{\infty} [(-1)^{K+I+2m} D_{K+2m+I} f_1(m,n,k,l) + (-1)^{K+I+2m+1} D_{(K+2m+I)+2} f_1(m,n,k,l) \\ + (-1)^{K+2m+I+2} D_{(K+2m+I)+2} f_1(m,n,k,l)], \quad T_y(m,n) = \sum_{k=1}^{\infty} \sum_{l=1}^{\infty} [(-1)^{K+I+2m} D_{K+2m+I} f_1(m,n,k,l) + (-1)^{K+I+2m+1} D_{(K+2m+I)+2} f_1(m,n,k,l) \\ + (-1)^{K+2m+I+2} D_{(K+2m+I)+2} f_1(m,n,k,l)],$$

$$\begin{aligned} W_{ij}(g) &= \sum_{p=1}^{\infty} \sum_{q=1}^{\infty} \frac{1}{K_{pq}} P_{pq}(\phi g) \sin p\pi \xi_i \sin q\pi \eta_j + f_{pq}(\xi_g) + \sin p\pi \xi_g \cdot \sin q\pi \eta_j \\ W_{xij}(g) &= \sum_{p=1}^{\infty} \sum_{q=1}^{\infty} \frac{1}{K_{pq}} P_{pq}(\phi g) \cos p\pi \xi_i \sin q\pi \eta_j + f_{pq}(\xi_g) + \sin p\pi \xi_g \cdot \sin q\pi \eta_j \\ W_{yij}(g) &= \sum_{p=1}^{\infty} \sum_{q=1}^{\infty} \frac{1}{K_{pq}} P_{pq}(\phi g) \sin p\pi \xi_i \cos q\pi \eta_j + f_{pq}(\xi_g) + \sin p\pi \xi_g \cdot \sin q\pi \eta_j \\ A(m, n, g) &= \frac{1}{D} \sum_{i=1}^r \sum_{j=1}^s \{ W_{ij}(g) \cdot \Pi(m, n) + W_{xij}(g) \cdot \Pi_x(m, n) + W_{yij}(g) \cdot \Pi_y(m, n) \} \end{aligned}$$

上式中の $W_{ij}(g)$, $W_{xij}(g)$, $W_{yij}(g)$ はその定義式の内容から明らかに ω と ζ と η の三次の影響面をもつ。

$W_{ij}(g)$ = 基本板(無梁板構造から中間柱を取り除いた構造)の奥付に単位荷重分布 ω 加付した時, 奥付 (ξ_g, η_g) が下向うに走る直直度を $\mu D/4a$ 倍した時の値である。

$W_{xij}(g)$ = 基本板の奥付に単位モーメント荷重 m_x が加付した時, 奥付 (ξ_g, η_g) が下向うに走る直直度を $\mu D/4a$ 倍した時の値である。

$W_{yij}(g)$ = 基本板の奥付に単位モーメント荷重 m_y が加付した時, 奥付 (ξ_g, η_g) が下向うに走る直直度を $\mu D/4a$ 倍した時の値である。

(3) T字カット角, 曲げモーメントおよびねじりモーメントの影響面: 板のT字カット角, T字カット角, 曲げモーメントおよびねじりモーメントとの固有の関係式: 式(7)を代入のうえ演算整理すれば, 板の各断面諸量に因する影響面式が算定されることが可能, 積面の都合上奥付にみて x および y 方向の曲げモーメント $M_x(\xi_g, \eta_g)$, $M_y(\xi_g, \eta_g)$ の影響面式の形で示す次の式となる。

$$M_x(\xi_g, \eta_g) = \frac{1}{\mu} \sum_{m=1}^{\infty} \sum_{n=1}^{\infty} \frac{1}{K_{mn}} \left[-f_{mn}''(\xi_g) + m^2 \pi^2 \sin m\pi \xi_g + \left(\frac{m}{\mu}\right)^2 (f_{mn}(\xi_g) + \sin m\pi \xi_g) \right] \sin m\pi \xi_g \sin n\pi \eta_g - \left\{ A^{xx}(m, n, g) + \frac{1}{\mu^2} A^{yy}(m, n, g) \right\} \sin m\pi \xi_g \sin n\pi \eta_g \quad (60)$$

$$M_y(\xi_g, \eta_g) = \frac{1}{\mu} \sum_{m=1}^{\infty} \sum_{n=1}^{\infty} \frac{1}{K_{mn}} \left[f_v(-f_{mn}''(\xi_g)) + m^2 \pi^2 \sin m\pi \xi_g + \left(\frac{m}{\mu}\right)^2 (f_{mn}(\xi_g) + \sin m\pi \xi_g) \right] \sin m\pi \xi_g \sin n\pi \eta_g - \left\{ v A^{xx}(m, n, g) + \frac{1}{\mu^2} A^{yy}(m, n, g) \right\} \sin m\pi \xi_g \sin n\pi \eta_g \quad (61)$$

$$\therefore \text{したがって}, A^{xx}(m, n, g) = \frac{1}{D} \sum_{i=1}^r \sum_{j=1}^s \{ W_{ij}^{xx}(g) \cdot \Pi(m, n) + W_{xij}^{xx}(g) \cdot \Pi_x(m, n) + W_{yij}^{xx}(g) \cdot \Pi_y(m, n) \}$$

$$A^{yy}(m, n, g) = \frac{1}{D} \sum_{i=1}^r \sum_{j=1}^s \{ W_{ij}^{yy}(g) \cdot \Pi(m, n) + W_{xij}^{yy}(g) \cdot \Pi_x(m, n) + W_{yij}^{yy}(g) \cdot \Pi_y(m, n) \}$$

$W_{ij}^{xx}(g)$ = 基本板の奥付に単位荷重 m_x が加付した時, 奥付が下向うに走る2次微係数 $\frac{\partial^2 w}{\partial x^2}$ を $-\mu D/4a$ 倍した時の値である。

$W_{xij}^{xx}(g)$ = 基本板の奥付に単位モーメント荷重 m_x が加付した時, 奥付が下向うに走る2次微係数 $\frac{\partial^2 w}{\partial x^2}$ を $-\mu^2 D/4a$ 倍した時の値である。

$W_{yij}^{xx}(g)$ = 基本板の奥付に単位荷重 m_x が加付した時, 奥付が下向うに走る2次微係数 $\frac{\partial^2 w}{\partial y^2}$ を $-\mu D/4a$ 倍した時の値である。

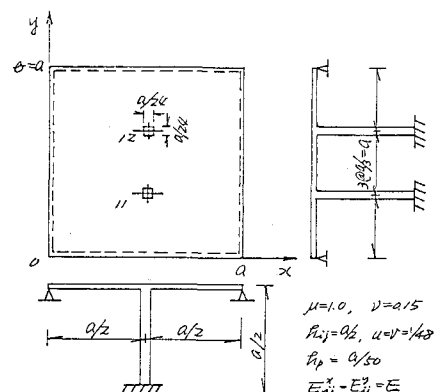
$W_{ij}^{yy}(g)$ = 基本板の奥付に単位モーメント荷重 m_y が加付した時, 奥付が下向うに走る2次微係数 $\frac{\partial^2 w}{\partial y^2}$ を $-\mu D/4a$ 倍した時の値である。

$W_{xij}^{yy}(g)$ = 基本板の奥付に単位モーメント荷重 m_y が加付した時, 奥付が下向うに走る2次微係数 $\frac{\partial^2 w}{\partial x^2}$ を $-\mu^2 D/4a$ 倍した時の値である。

(4) 柱の断面諸量の影響面: 直角集中荷重 $P=1$ が板上に作用

する場合に, 柱 i,j : 伝送する3次不静定モーメント M_{ij}^3 がある。したがって, 板下端の反力や, 不静定面に作用するT字カット角, 曲げモーメント, せん断力の各断面諸量はりT字カット角, 不静定モーメントの1次関数であるから3次不静定モーメントの影響面の外れに3次不静定モーメントの影響面を算定する必要はない。

4. 計算例 (a)-Z: 1. に示すように, 四四柱室脚支撑工法, かく中間柱2本の柱に2支承式の無梁板構造の諸子静定力および板の断面諸量に因する影響面を求める。



(a)-Z.

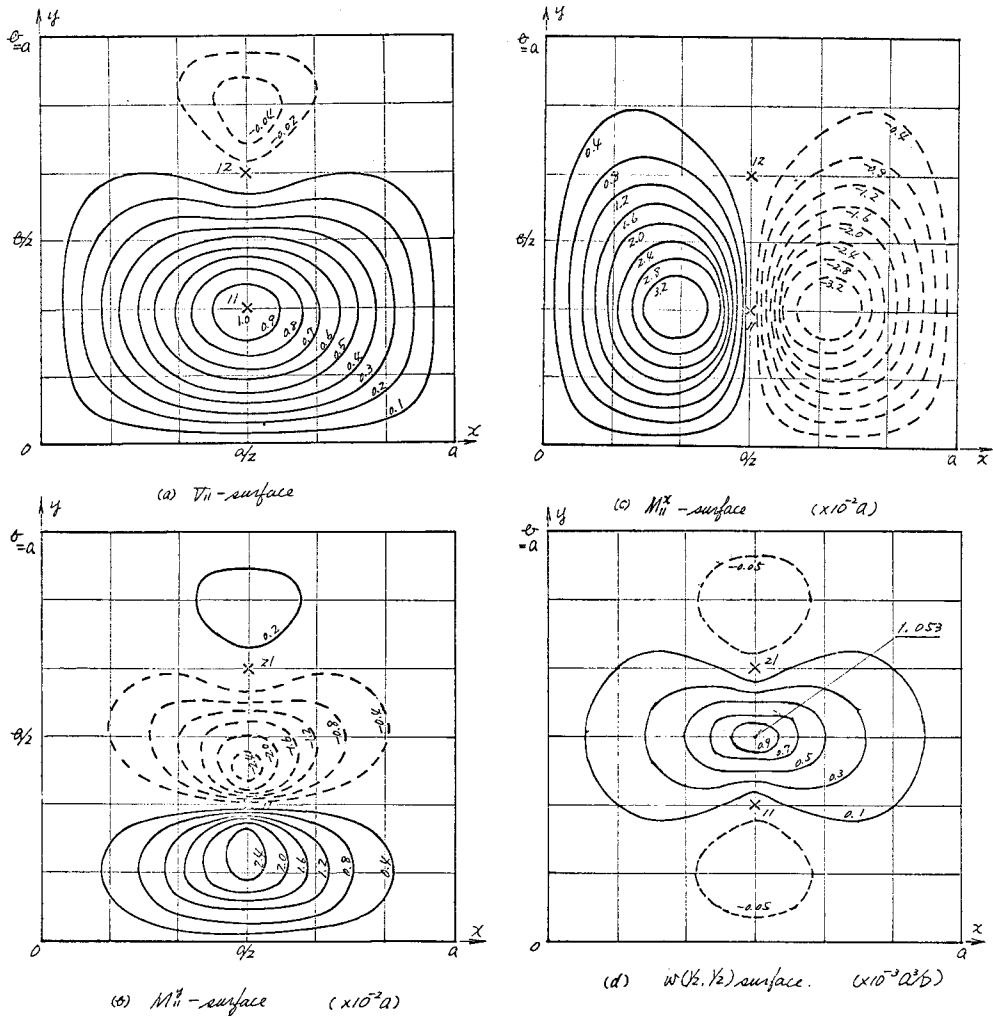


図-3.

18, (d)-3の二つである。

5. 稼語 壓梁板構造における板の断面諸量の影響面式(式(9))は2度級数と2度ガ(式(9)～(11)参照), その内容は2度級数の積であり収束級数となる。加えて, 一方の2度級数($M_{II}(y)$ 等)は1度級数板構造といふ最も基本的かつ簡単な1辺矩形板すなわち基本板の断面諸量を定義することができる, これらに付随するあらかじめ計算のうえ固有化されたばかりは既往の結果を用うることにより影響面が單に2度級数を計算するだけの簡単な内容となり, 計算上での論のことは高精度解を得るうえからも極めて好都合であり, 本法の実用性を著しく高めることが可能となる。ただし, 本研究には文部省科学研究所の補助下で受けた。記して謝意を表す。

参考文献

- 1). R.E.Wooding & C.P.Siess: Influence Surfaces for Continuous Plates, Proc.ASCE, vol.94 ST.1, Jan. 1968
- 2). T.Yamazaki & T.Chiyaki: Analysis of Influence Surfaces of Simply Supported Rectangular Plates with Intermediate Simple Supports (Flat Slabs), Proc. of 16th JNCAM, 1967, Dec. 1967
- 3). 桥木: 壓梁板構造の解法に関する研究(序論)(略論文)